

适用于绿色制氢电解槽功率转换系统 的光耦隔离驱动器

陈红雷

2024.07.23



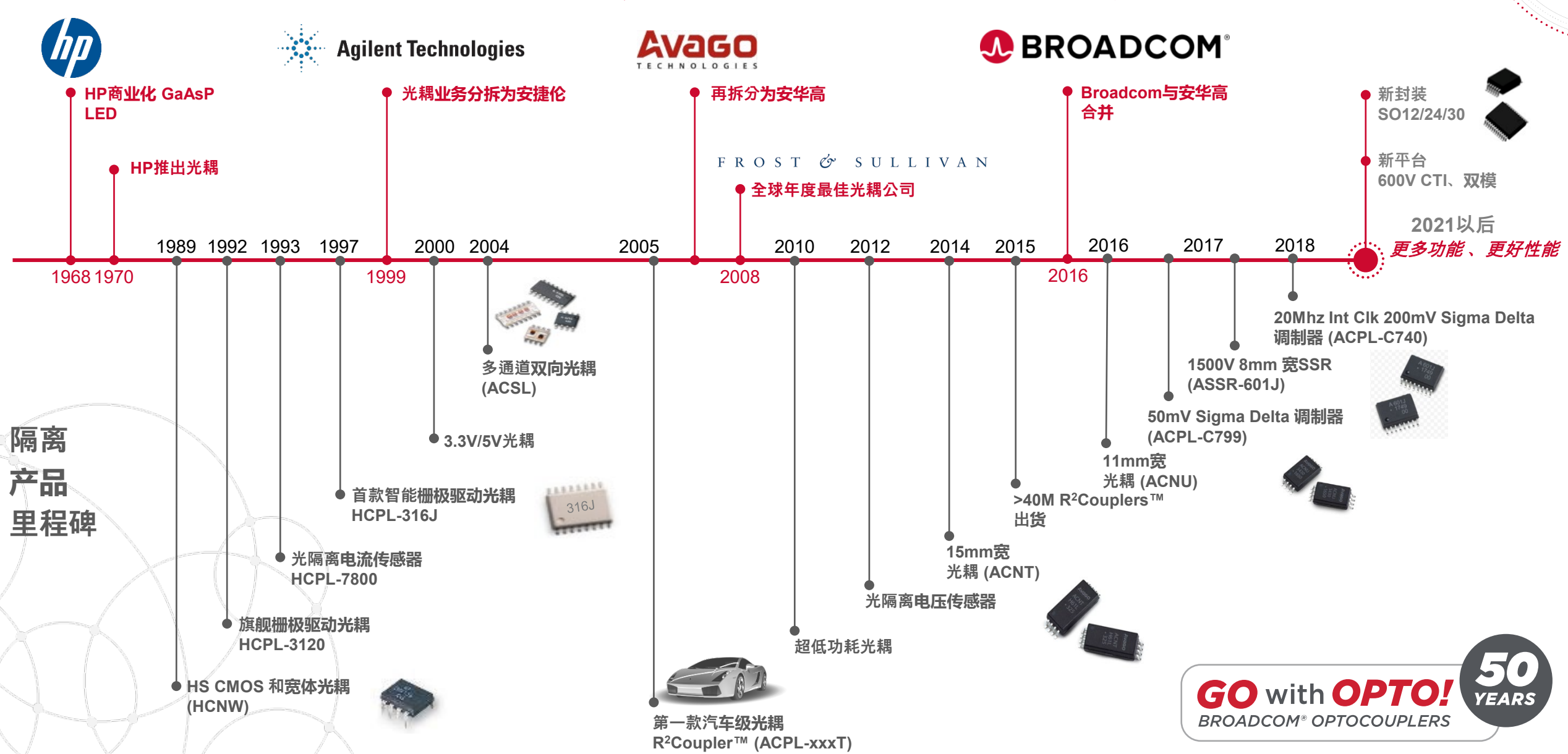
议程



- 博通光耦(光电耦合器):50年功力
- 绿色氢能是可持续能源未来的关键角色
- SiC和GaN功率开关
- 用于SiC/GaN应用的博通栅极驱动器
- 栅极驱动产品树
 - 基本栅极驱动产品树
 - 智能栅极驱动产品树
- 博通栅极驱动器参考设计
 - ACFL-3161 SiC 评估板
 - ACFJ-3262 GaN评估板
 - ACPL-355JC SiC 模块驱动器板
- NPI 10A单通道和双通道栅极驱动器(ACFL-3161和ACFJ-3262)
- NPI -双通道栅极驱动器,带死区控制和米勒钳位(ACFJ-332B)



Broadcom 光耦里程碑:50 年制造功力





Broadcom 光耦概述

产品系列

数字光耦信号隔离

- ■数字光耦 (高达50MBd)
- ■数字隔离器 (高达100MBd)
- 模拟光耦&特殊功能

栅极驱动器 功率器件栅极驱动

- ■IPM接口
- ■IGBT/MOSFET栅极驱动器
- ■智能栅极驱动器
- ■基本栅极驱动器

隔离放大器 电流/电压感测

- 隔离的ADC
- 模拟输出隔离放大器

细分市场

工业 IEC/EN/DIN EN 60747-5-5 UL 1577 CSA

<u>汽车</u> AEC-Q100认证 密封光耦 军规MIL-PRF-38534 认证



满足各种工业应用需求的栅极驱动光耦













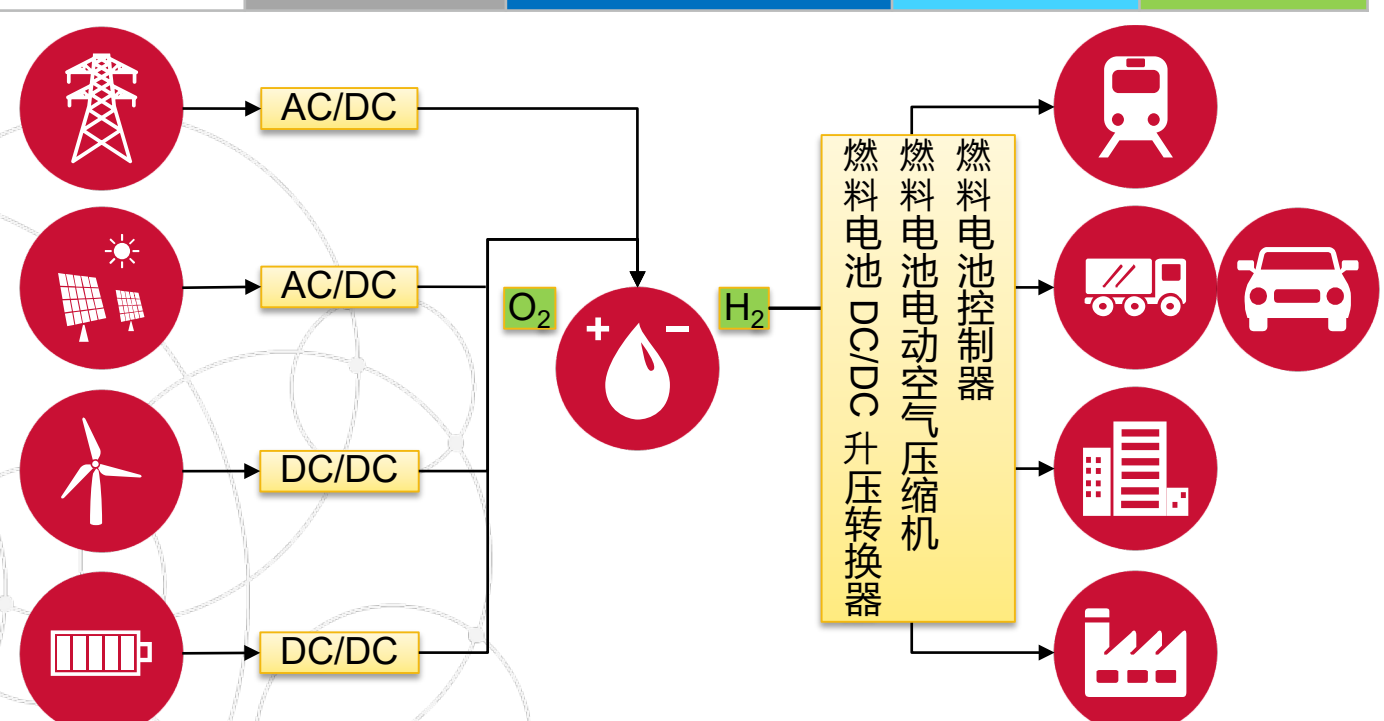






绿色氢能——可持续能源未来的关键角色

氢颜色代码	Grey 灰色	Blue 蓝色	Turquoise* 绿松石	Green 绿色
制程	水蒸汽重整 或 气化	水蒸汽重整或 气化+ 碳捕捉 (85-95%)	热解	电解
原材料	甲烷或煤	甲烷或煤	甲烷	可再生电 力+水



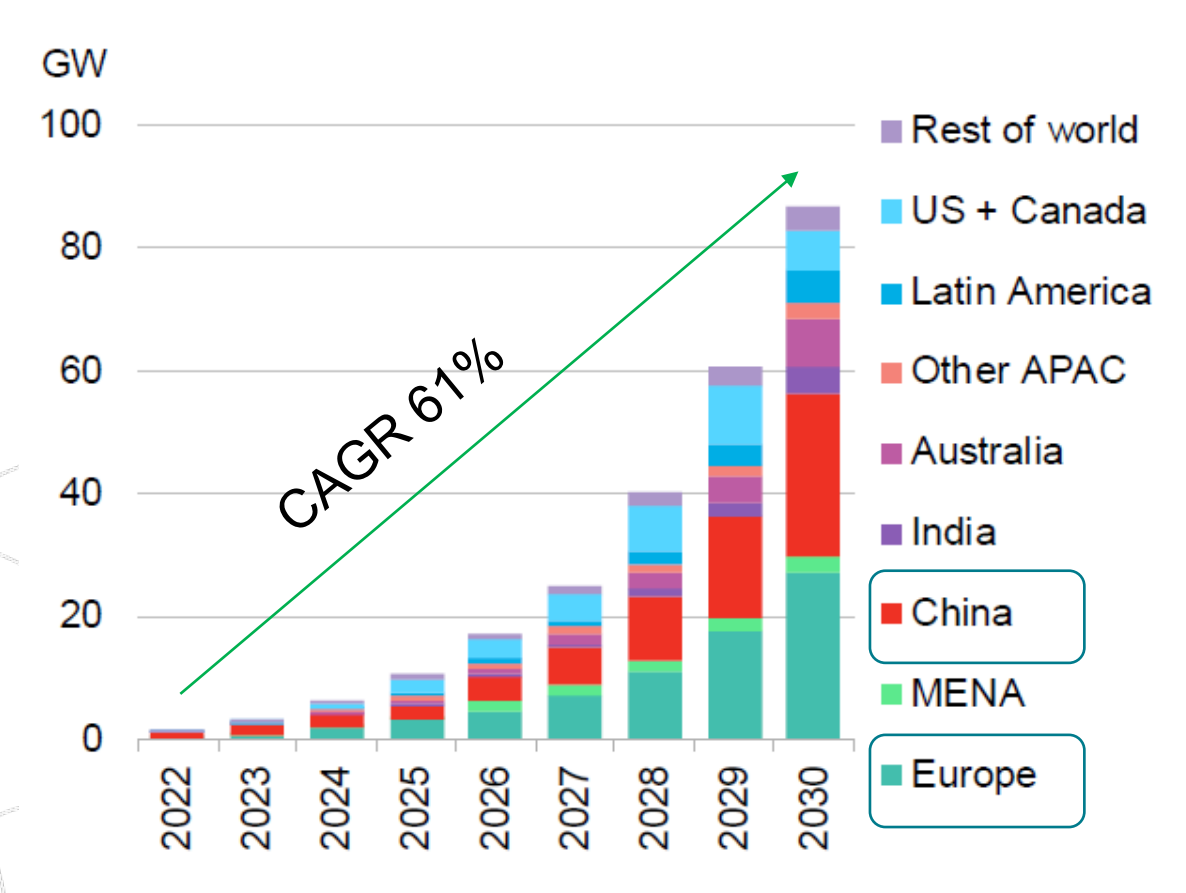
- H_2 生产:根据不同的工艺和来源,可生成不同颜色的 H_2 。
- 今天95%的氢气是由化石燃料作为原材料生产的。
- 人们在逐渐达成共识:绿色氢能将在世界 向可持续能源未来过渡的过程中发挥关键 作用。
- **电解**:是利用电将技术将**水**分解成氢气和 氧气的过程。这种反应发生在一个称为**电 解槽**的装置中。
 - 整个氢动力系统都需要**功率转换器**。

* Turquoise (绿松石) 氢气是一种新兴的脱碳选项。



全球各地区, 电解槽需求都强劲增长

Annual electrolyzer forecast, global



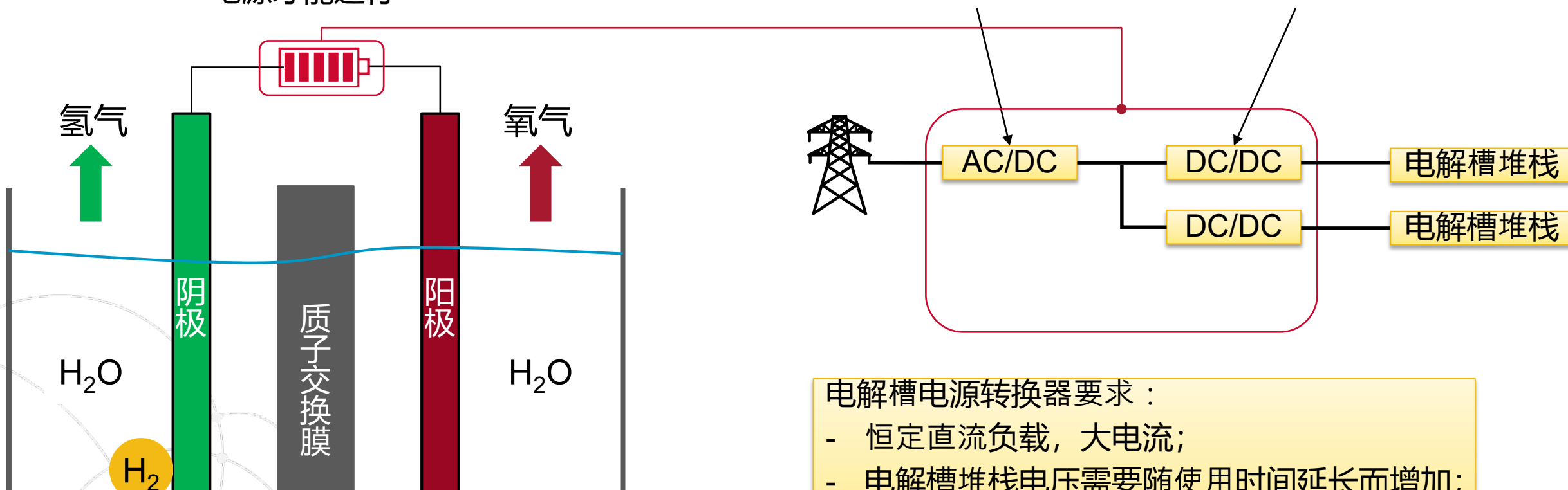
- 欧洲和中国对绿色氢的需求最为强劲,这两个地区的政策(部分是必要的),正在创建投资机会;
- 但美国正在寻求迎头赶上,美国联邦政府提供了至少200亿美元的供应方激励措施。最大的优惠来自新的氢气生产税收抵免政策,每生产一公斤氢气可提供高达3美元的税收抵免。这使得低碳氢在美国许多地区立即与化石燃料相竞争。到2029年底,这些税收优惠政策可能使美国生产出世界最便宜的低碳氢,远低于美国能源部设定的每公斤1美元的基准目标。

Source: BloombergNEF

电解槽(电能→氢气)-专注于功率转换器

电解槽需要定制 电源才能运行

带直流输出的中央整流器+逐堆栈DC-DC转换器



阴极反应:

 $4H^{+} + 4e^{-} \rightarrow 2H_{2}$

阳极反应:

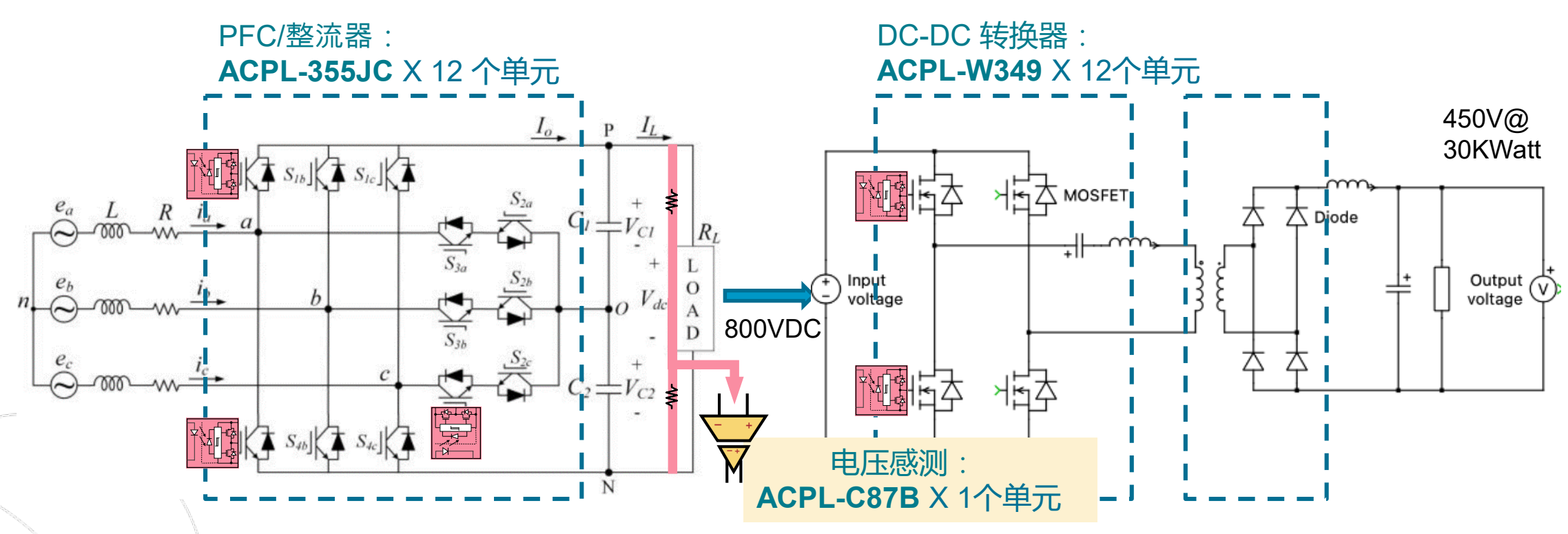
H⁺

 $2H_2O \rightarrow O_2 + 4H^+ + 4e^-$

- 电解槽堆栈电压需要随使用时间延长而增加;
- 直流电压趋势 **1500V**_{DC}



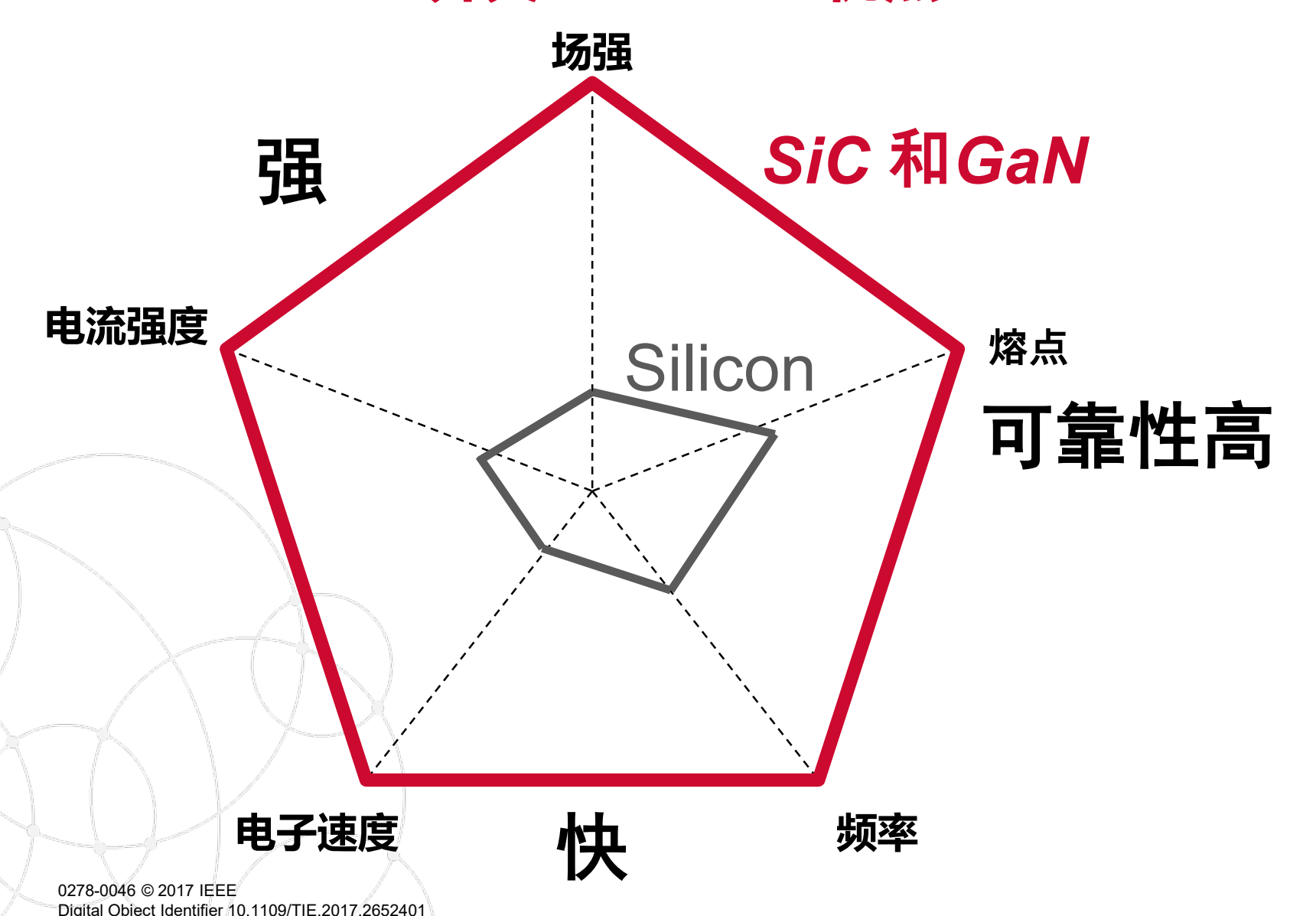
带直流输出的中央整流器+逐堆栈DC-DC转换器的示例



- 整个氢动力系统都需要功率转换器。
- 适用于此应用的光耦包括:SiC/IGBT/功率 MOSFET栅 极驱动器;电压传感器;适用于1500VDC 系统的ACNT系列



SiC和GaN功率开关——特性和优点



采用 SiC/GaN 的 电源转换器好处:

- ✓更紧凑小巧
- ✓能源转换效率高
- ✓总体成本效益高

用于SiC/GaN的博通栅极驱动器

栅极驱动器		第一代< 5A (2018年)		第二代 10A (2022)		第三代,高速 (2023)	
		基本	智能	基本	智能	 基本	通道-1
		ACPL-P/W346 ACPL-P/W349	ACPL-352J	ACFL-3161 (1-CH) ACFJ-3262 (2-CH)	ACPL-355JC	ACFJ-332B (2-通道) voi	1 3 24 VODA
峰值输出电流 典型 ~4		~4A	~ 7A 10A		10A	4A (典型)	N 6 UVLO SHELD VIII
	最大	2.5A	5A	>6A	>7A		Deadtime State Sta
上升/下降时间 8n CMTI >1		120ns (最大)	150ns (最大)	95ns (最大)	150ns 最大)	65ns (最大)	15 VOB
		8ns (典型)	37ns (典型)	7ns (典型)	37ns (典型)	10ns (典型)	2 10 13 MCB
		>100kV/µs	>100kV/µs	>100kV/µs	>100kV/µs	>150kV/µs	通道-2
		https://www.broadd	com.com/products				
		半桥评估套件 第2代SiC KIT8020-CRD- 8FF1217P-1	150V,5A斩波器 板 X-GaN™	半桥评估套件 650V/60A GaN晶体管 GAN039-650NBB	Dual1B/FM3 1200V SiC驱动器板 FF11MR12W1M1 FF23MR12W1M1 CAB011M12FM3 CAB016M12FM3		
	i i	半桥 评估板 GaN E-HEMT GS66516T-EVBDB2 GS66508T-EVBDB2	三相SiC 栅极驱动器板	1200V TO247 SiC MOSFET SCTWA70N120G2V4 C3M0021120K	62mm 1200V/300A FF2MR12KM1 FF3MR12KM1 FF6MR12KM1 WAB300M12BM3 WAB400M12BM3	扫描二维码, 参考设计详细 https://www.broadcom.com/p ference-designs	信息

基本栅极驱动产品树



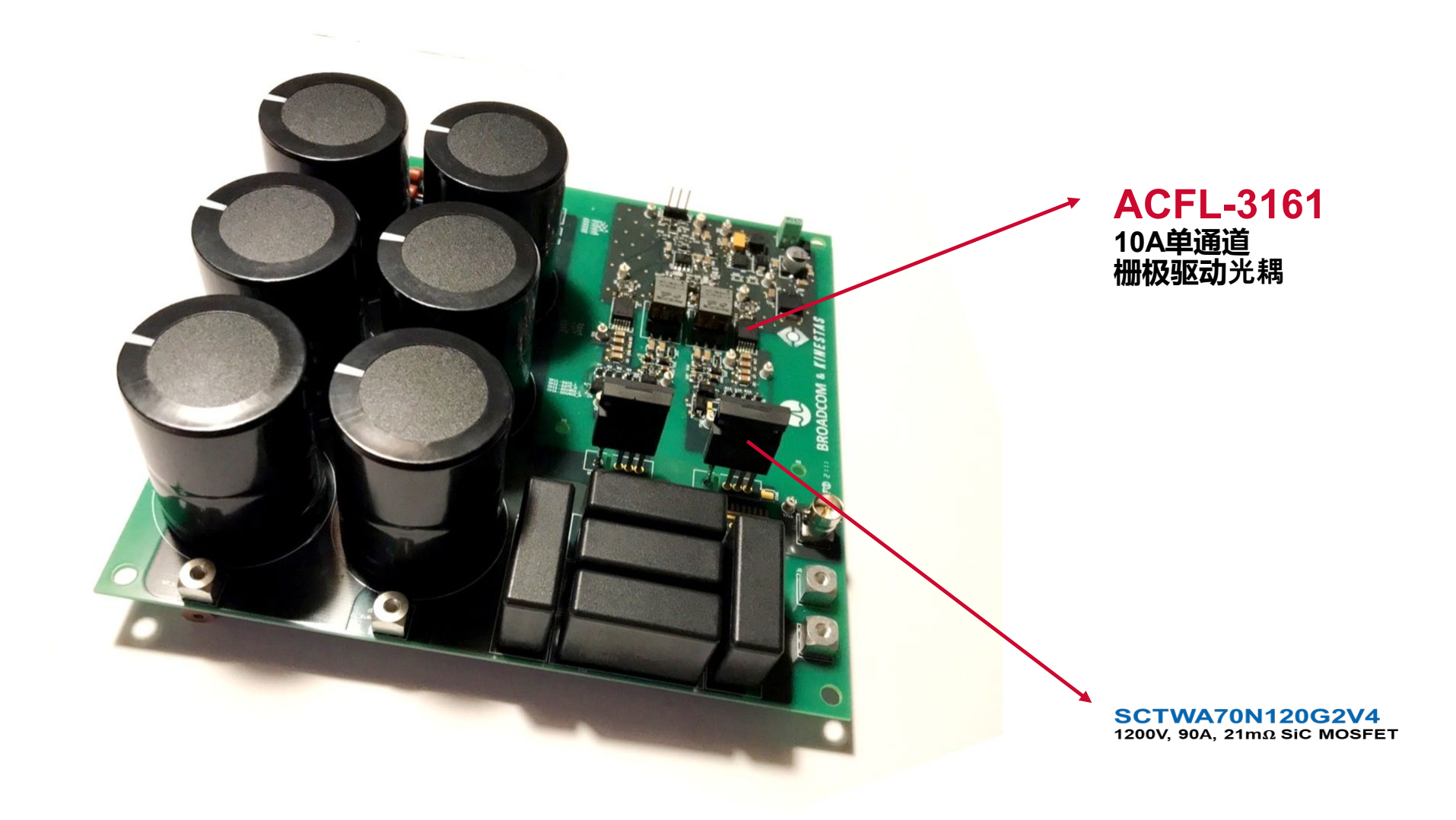


智能栅极驱动产品树





SiC功率MOSFET-半桥评估板

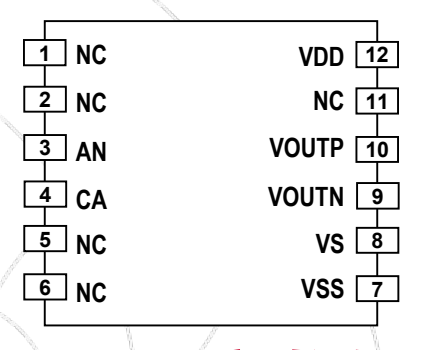




SIC MOSFET 评估板 ACFL-3161基本栅极驱动器

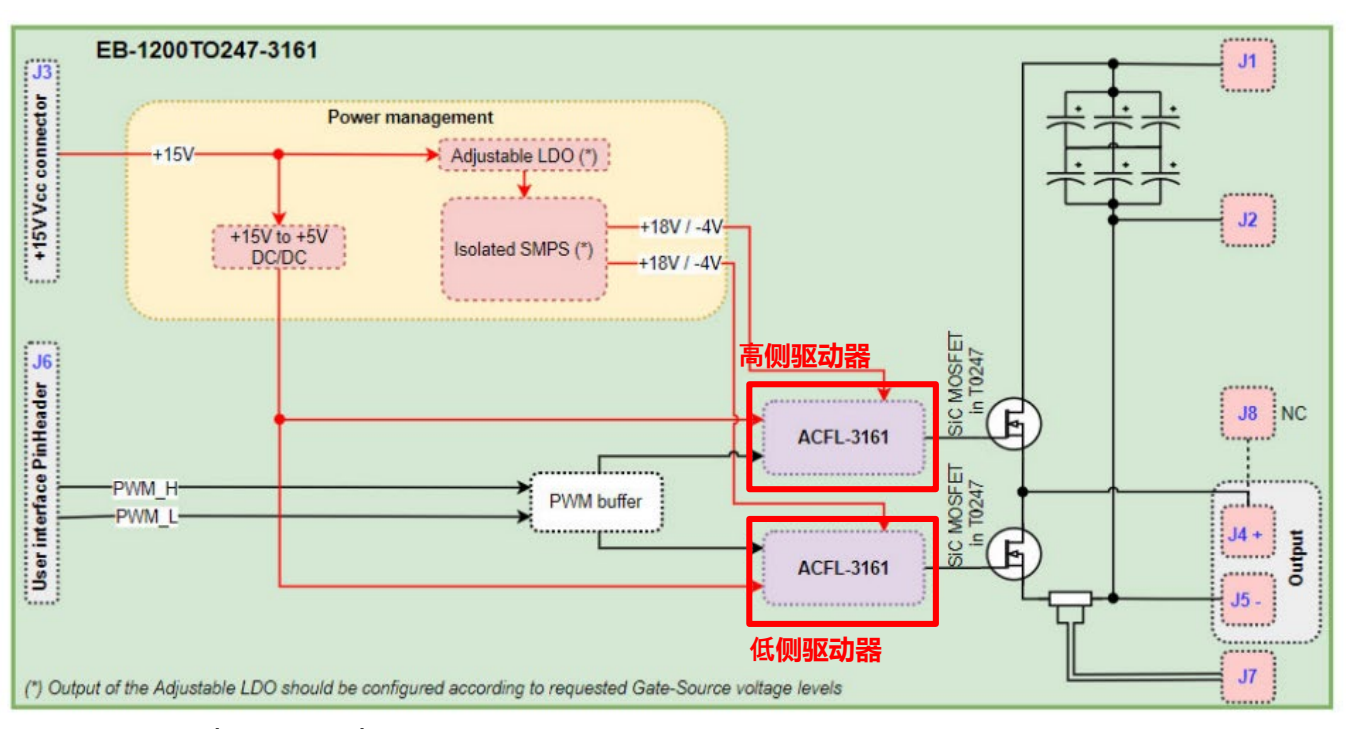
特性

- 10A峰值输出电流
- 小于95ns的传播延迟
- 抗扰度 , dv/dt>100kV/µs
- 安全认证
 - UL认证5000 VRMS@1分钟
 - CSA
 - IEC/EN/DIN EN 60747-5-5 $V_{IORM} = 1230 V_{PEAK}$





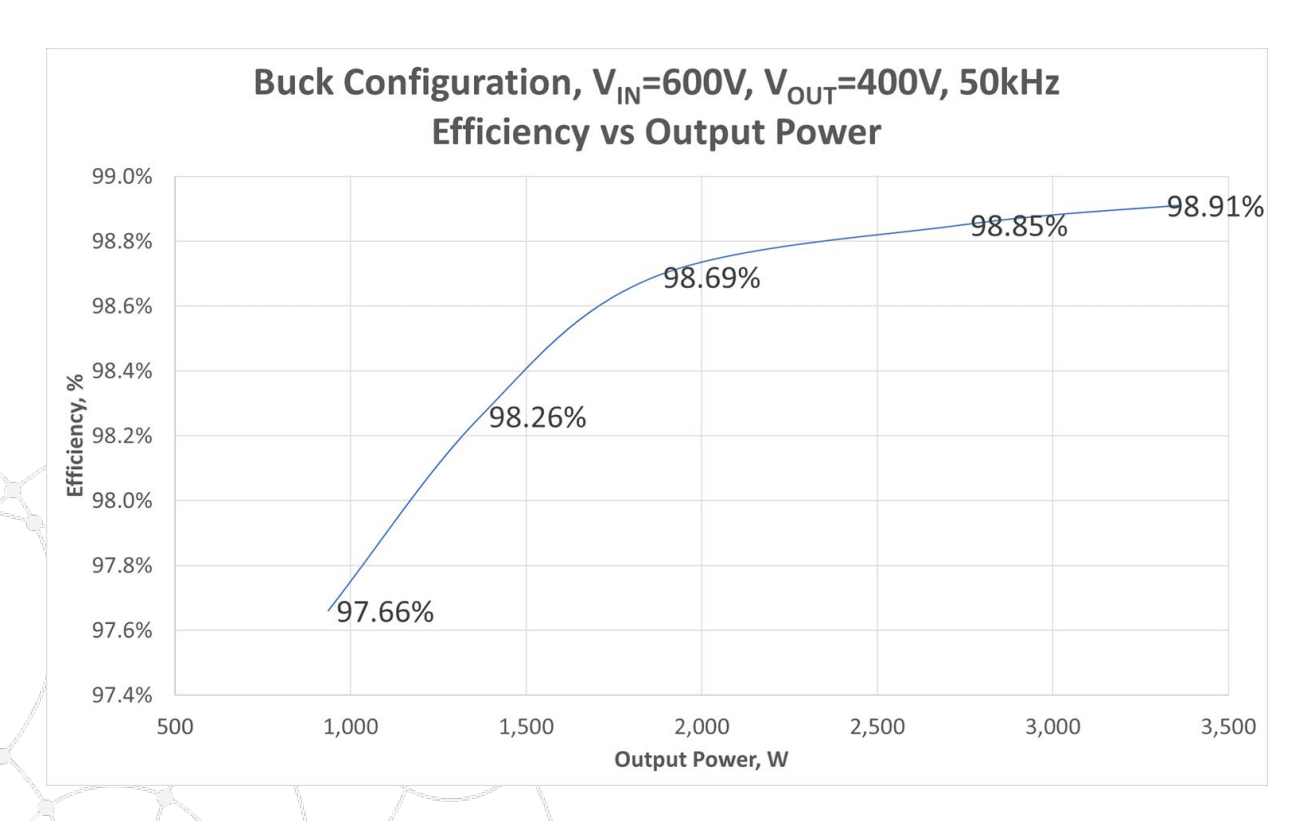
已量产发布!

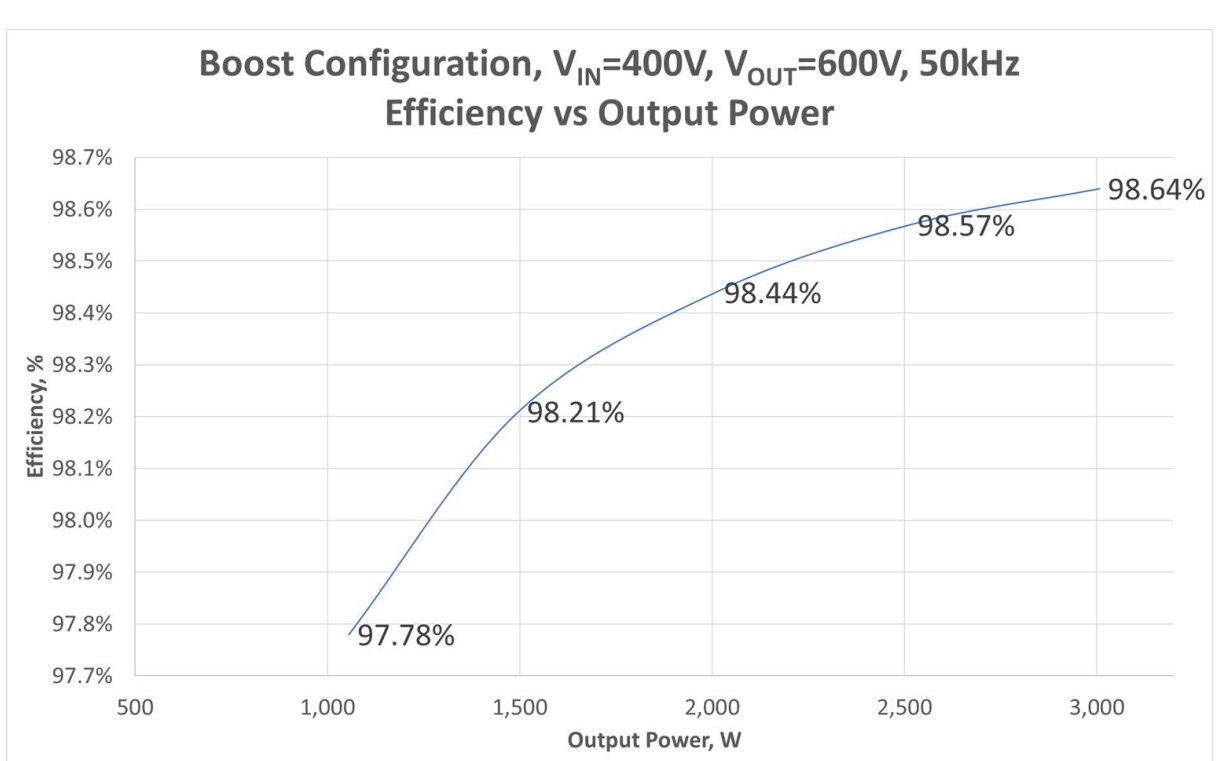


评估板功能框图



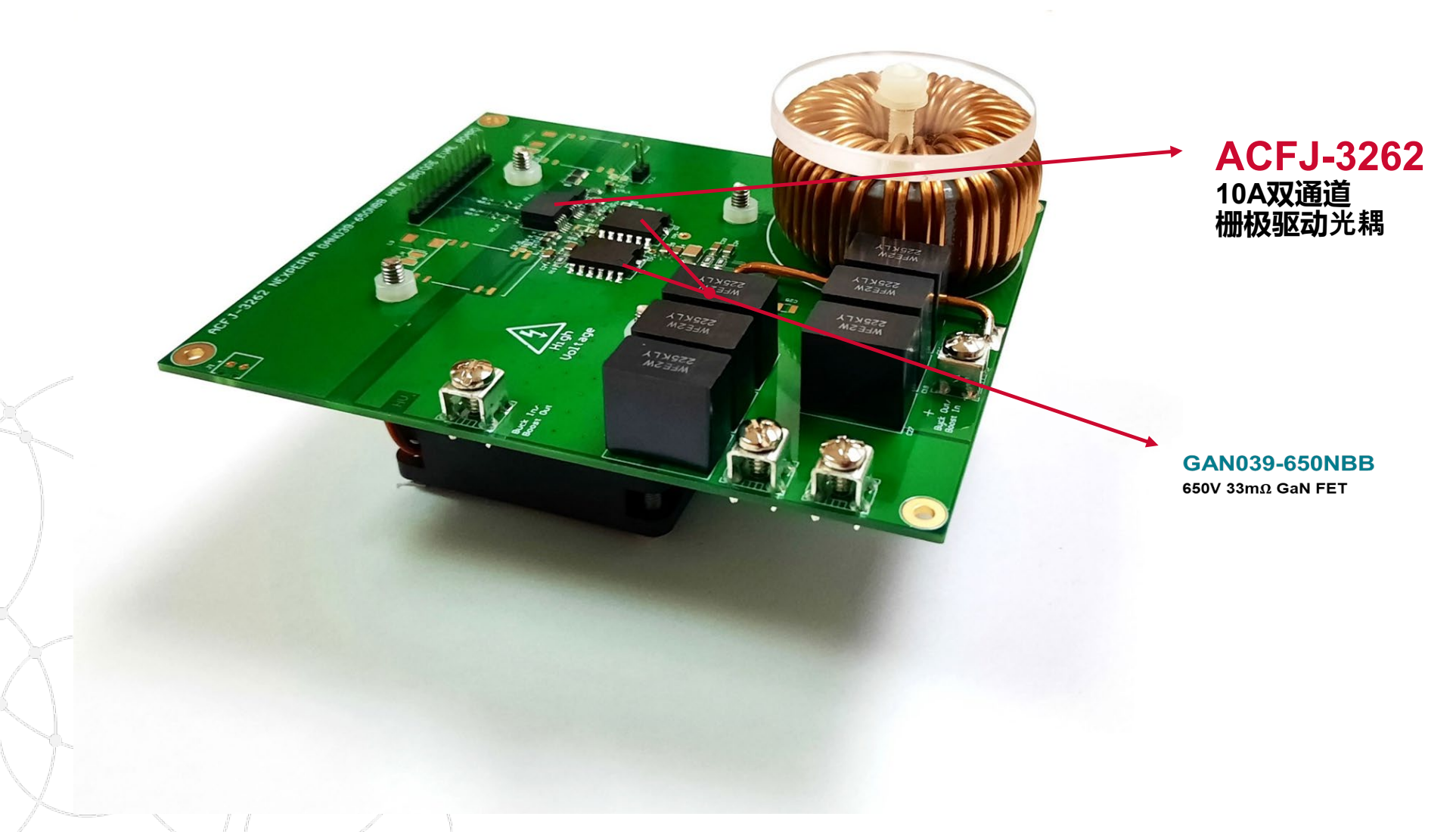
SiC MOSFET 评估板—效率性能







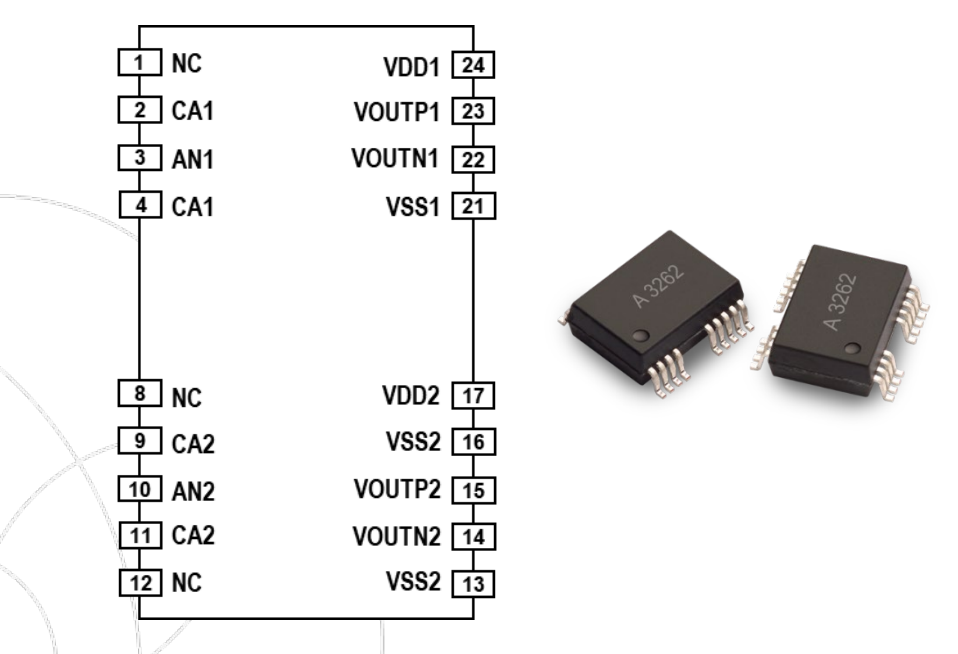
GaN FET-半桥评估板

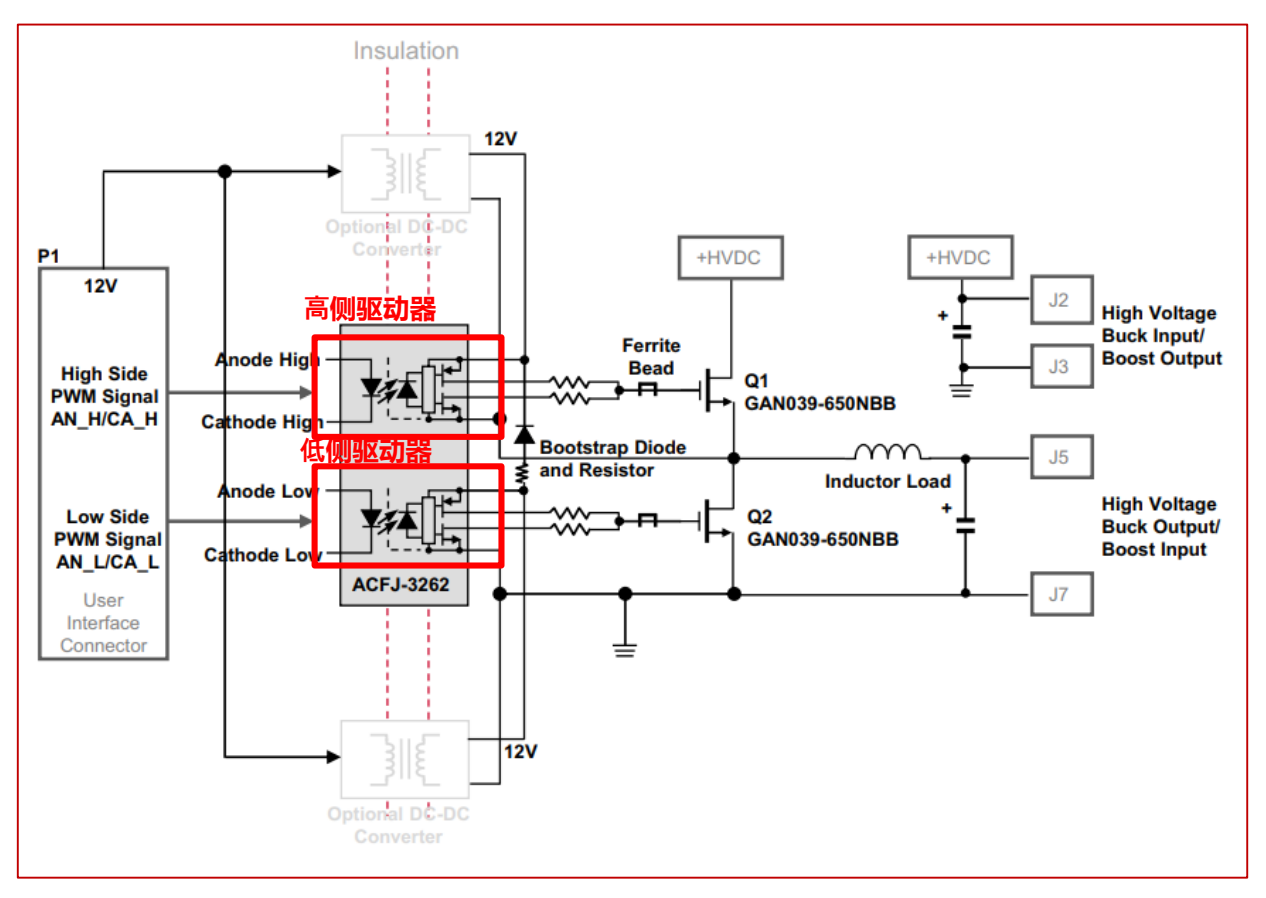


GaN FET评估板—ACFJ-3262

特性

- 10A峰值输出电流
- 8.6V UVLO,适用于10-25V电源范围
- 小于95ns的传播延迟
- 抗扰度, dv/dt > 100kV/µs





评估板功能框图

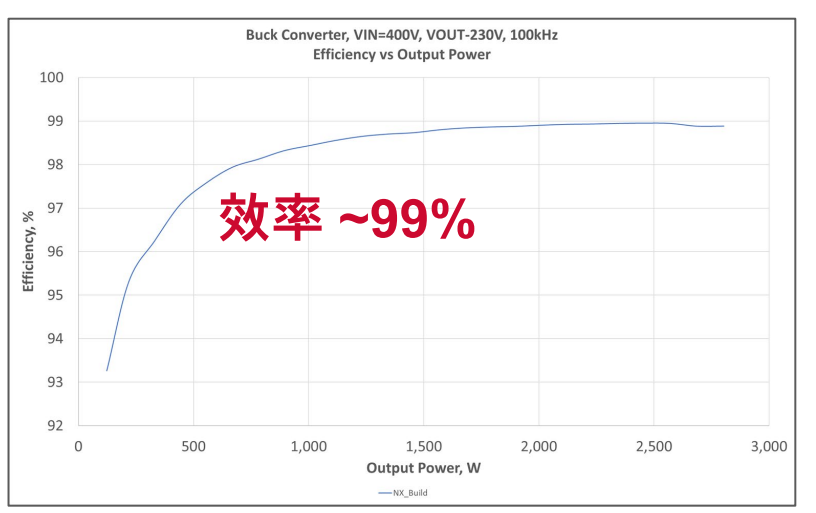


GaN FET评估板——开关性能

双脉冲测试



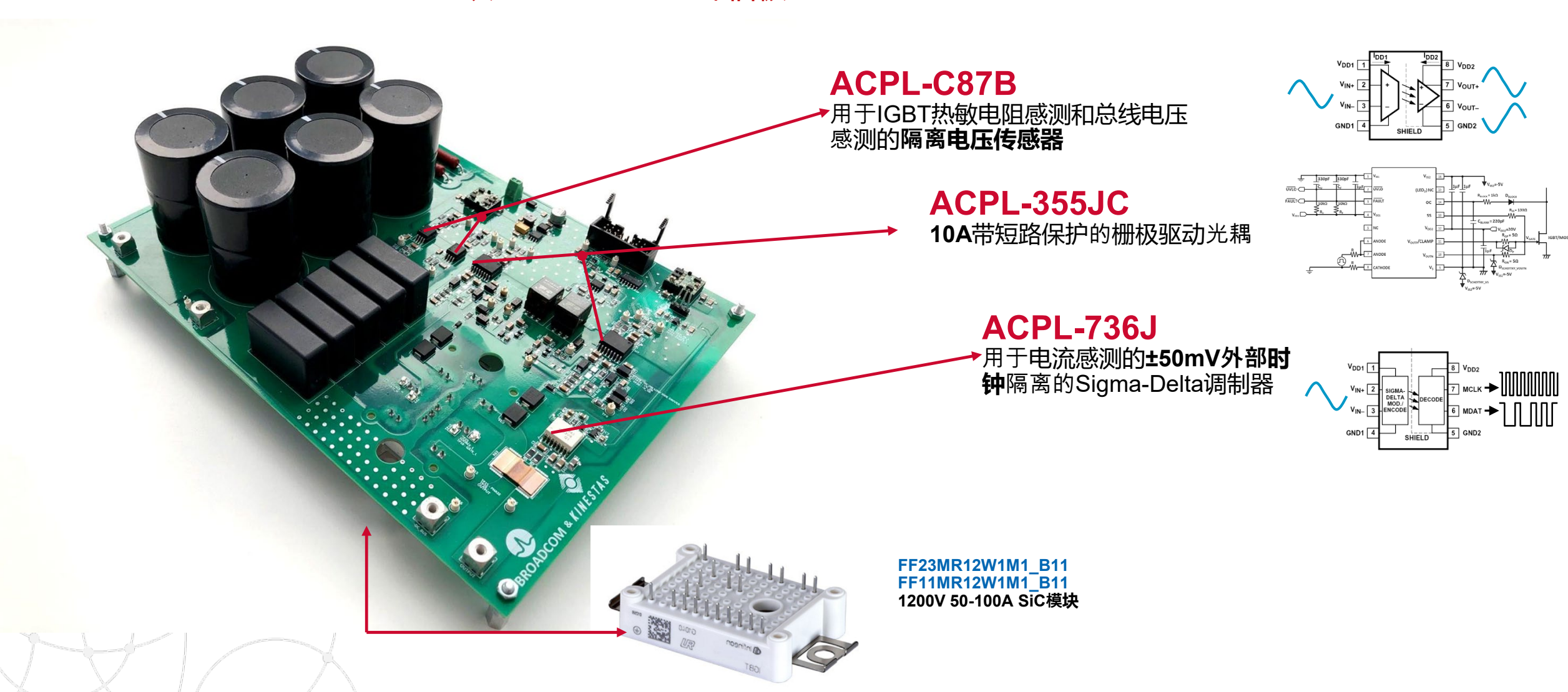






半桥SiC模块驱动板

ACPL-355JC: DUAL 1B SiC模块EB1200-355JC评估板

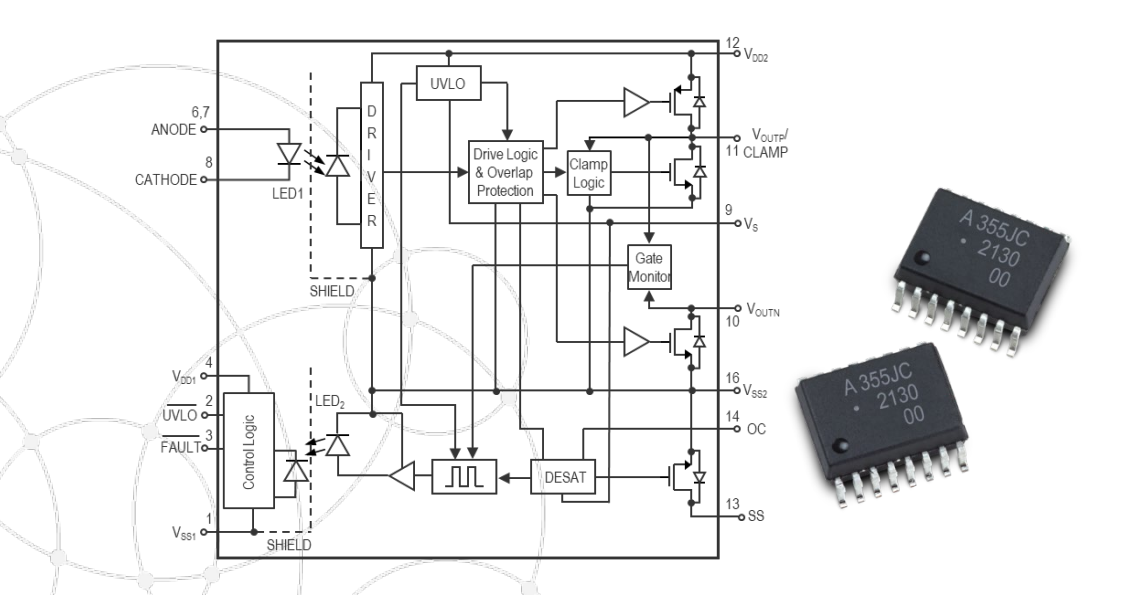


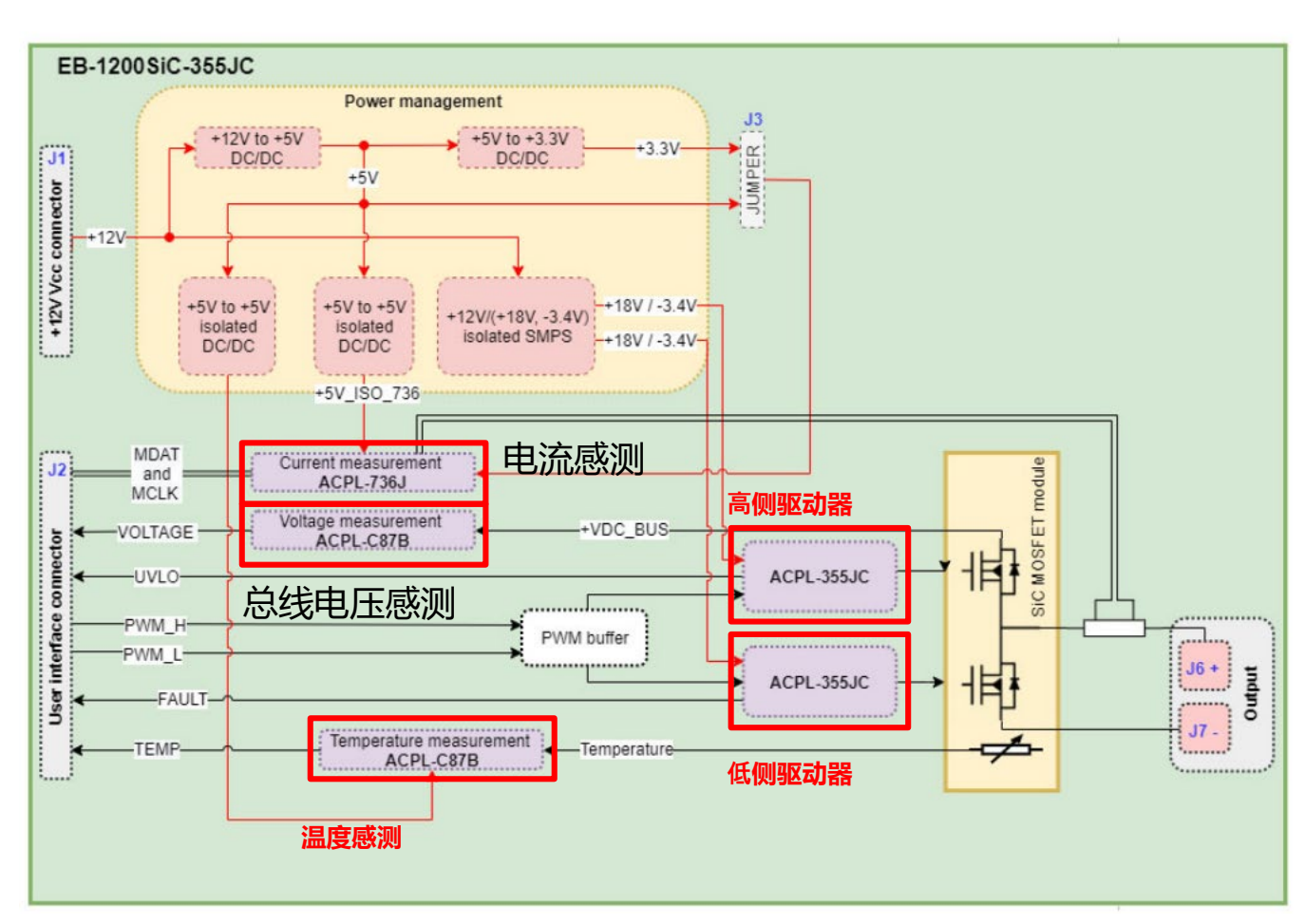
半桥SiC模块驱动板

ACPL-355JC: DUAL 1B SiC 模块 EB1200-355JC 评估板

特性

- 10A 峰值输出电流
- V_{IORM}=2262V_{PEAK} 工作电压
- CTI > 600V, Material Group I 封装
- 带反馈的短路保护
- 抗扰性, dv/dt > 100kV/µs

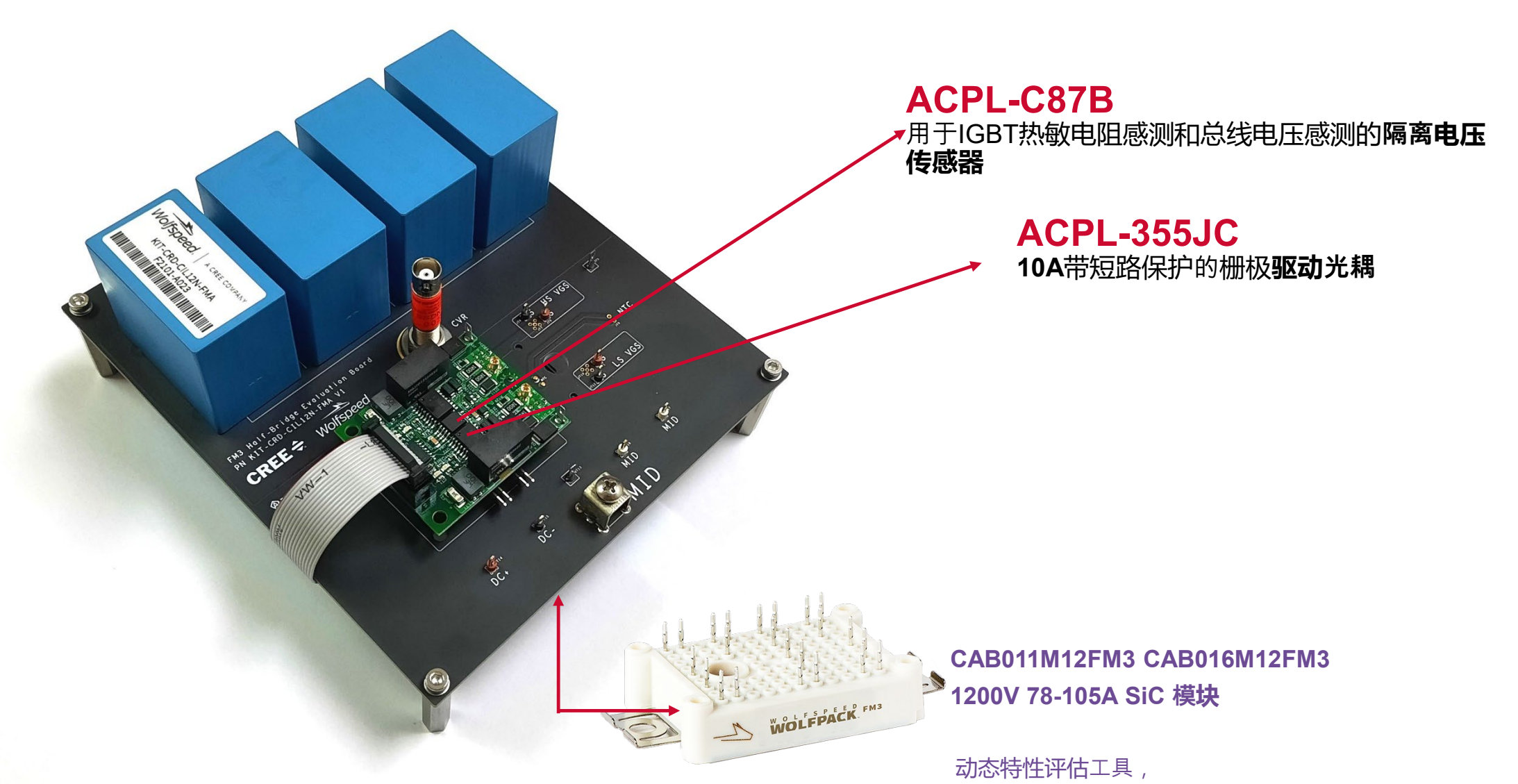




功能框图



FM3半桥模块驱动板

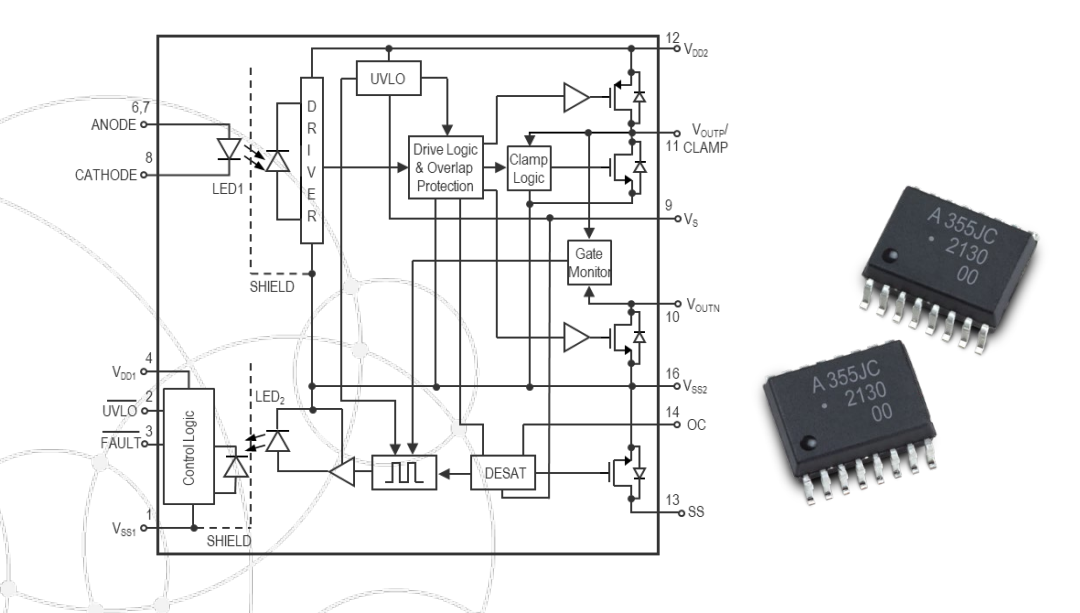


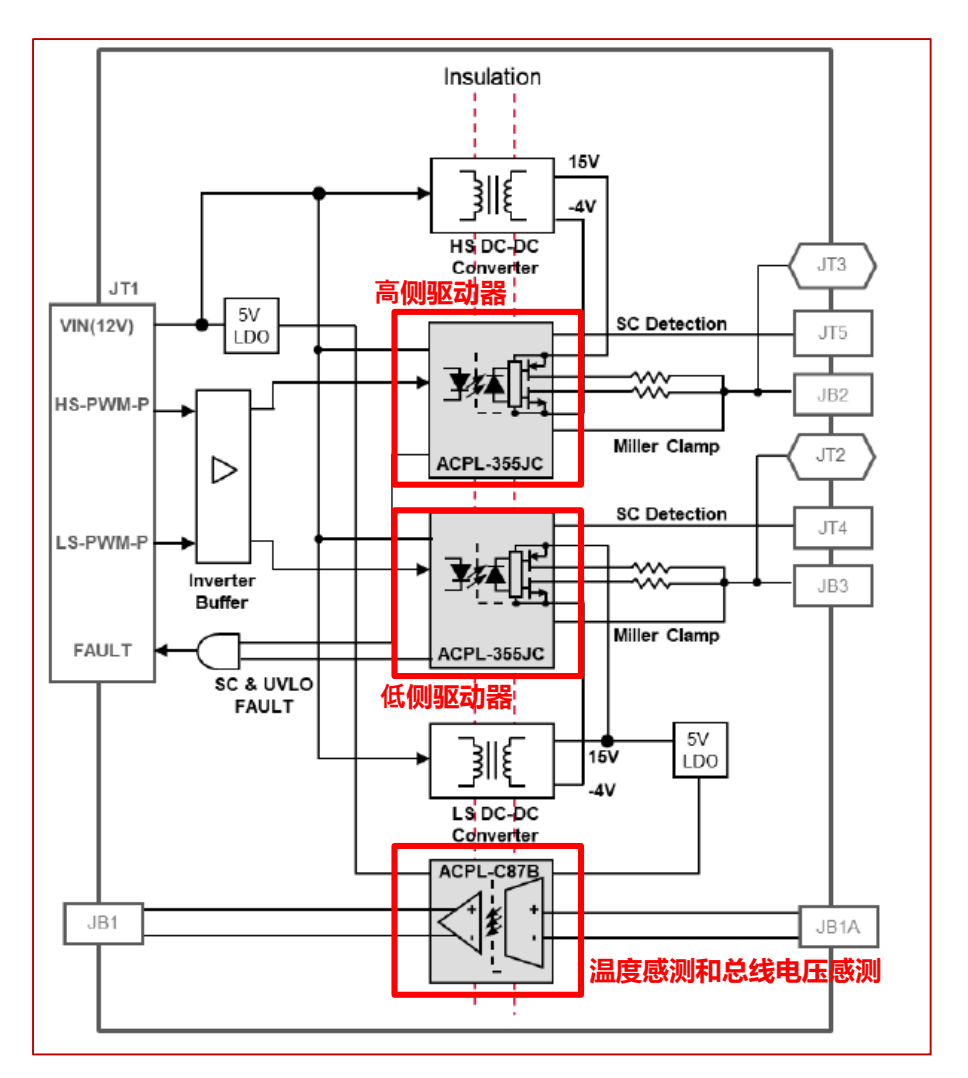
KIT-CRD-CIL12N-FMA

FM3驱动器板-ACPL-355JC智能栅极驱动器

特性

- 10A峰值输出电流
- V_{IORM} = 2,262V_{PEAK} 工作电压
- CTI > 600V, Material Group I 封装
- 带反馈的短路保护
- 抗扰性 , dv/dt > 100kV/µs





FM3驱动器评估板功能框图



栅极驱动器参考设计

- https://www.broadcom.com/products/optocouplers/reference-designs
- SiC参考设计
 - 10A智能型栅极驱动器 ACPL-355JC和基础型栅极驱动器 ACFL-3161/3262



ACPL-355JC 半桥1200V SiC模块



ACPL-355JC FM3半桥1200V SiC模块



ACFL-3161 TO247 1200V SiC 分立式



ACFL-3161 TO247 CM3 1200V SiC 分立式



ACFJ-3262 CCPAK 650V GaN 分立式



ACPL-355JC 62mm SiC 1200/300A-500A

• GaN参考设计



ACFJ-3262 CCPAK 650V GaN 分立式



ACPL-P346 GaN 系统 650V E-HEMT GS66508T GaN 分立式



https://www.broadcom.com/products/optocouplers/reference-designs



10A单和双通道栅极驱动器,驱动IGBT/SiC/GaN/功率MOSFET

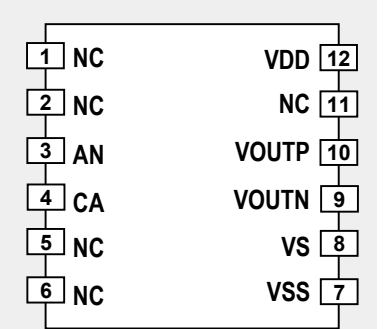
ACFL-3161 - 10A IGBT/SiC 栅极驱动器 (单通道)

特性

- 10A_{pk} 典型, 6A_{pk} 最小 轨对轨输出
- SO-12封装中的单通道
- R_{DS,OH} 1.3Ω 最大; R_{DS,OL} 1.2Ω 最大
- 分离的源和漏极输出
- 95ns。最大,传播延迟
- 500kHz 工作频率
- CMR >100 kV/µs 最小 @V_{CM}=1000V
- •__13.6V UVLO带迟滞
- 宽工作电压范围V_{DD}: 15 到 30V
- 工业级工作温度:-40 ℃ 到 125℃
- CTI>600V
- 安全认证
 - UL 认证 5000 V_{RMS} / 1min.
 - CSA
 - IEC/EN 60747-5-5 $V_{IORM} = 1,230V_{pk}$



ACFL-3161



ACFJ-3262 – 10A GaN/功率MOSFET栅极驱动器

双通道)

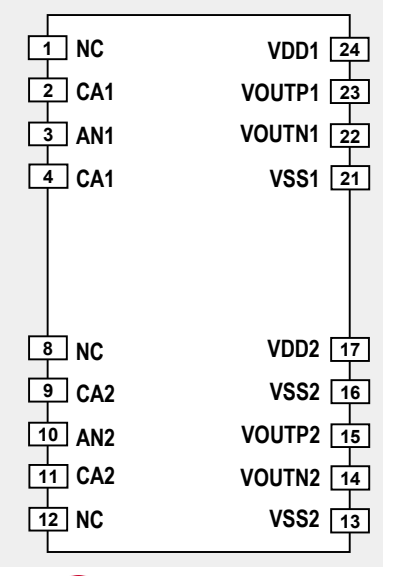
特性

- **10A_{pk}典型**, 6A_{pk} 最小 轨对轨输出
- SO-24封装中的双通道
- · >2.8mm通道间隔离
- R_{DS,OH} 1.3Ω 最大; R_{DS,OL} 1.2Ω 最大
- 分离的源和漏极输出
- 95ns,最大,传播延迟
- 500kHz工作频率
- CMR >100 kV/µs 最小 @V_{CM}=1000V
- 8.6V UVLO带迟滞
- 宽工作电压范围V_{DD}: 15 到 25V
- 工业级工作温度: -40 °C 到 125°C
- CTI>600V
- 待批的安全认证
 - UL 认证 5000 V_{RMS} /1min.
 - CSA
 - IEC/EN $60747-5-5 V_{IORM} = 1,230 V_{pk}$





ACFJ-3262





ACFJ-332B (工业) SO-24封装的带死区控制和米勒箝位的MOSFET/IGBT双通道4A峰值栅极驱动光耦

主要特点

- 工业温度范围:-40 °C 到 125°C
- 高输出驱动/吸收电流:4A峰值(典型)
- 米勒钳位:2A峰值(典型)
- 轨对轨输出电压
- 死区时间控制
- 传播延迟:65ns(最大)
- 死区时间失真: 26ns (最大)
- 通道间时钟偏差: 20ns (最大)
- 宽工作电源范围(V_{DD}):10 到 25 V
- 欠压锁定(UVLO) w/滞后: 8V
- 高开关频率操作:500kHz
- 共模瞬态抗扰度(CMTI): 150kV/μs 最小 @ V_{CM} = 1500V
- SO-24封装中的双通道, 爬电距离和间隙为8mm
- CTI >400V
- 两个输出驱动器之间的爬电间距:3.5mm(最小)
- 安全审批(待批):
 - UL1577 认证 5,000 V_{RMS} @1min
 - CSA
 - IEC/EN/DIN EN 60747-5-5 V_{IORM} = 1414 V_{PEAK}

应用

- 可再生能源逆变器和存储
- 电动汽车充电器
- 工业自动化和机器人的电机驱动

供货状态更新

样片 现在

产品发布(ACFJ-332B) **2025 Q1**

原理框图

